

· 论著 ·

文章编号: 1007-8738(2013)02-0194-03

血管生成拟态及相关蛋白 Mig-7、MMP-2 在胃癌组织中的表达及临床意义

廖世平, 高青* (重庆医科大学附属第一医院消化内科, 重庆 400016)

[摘要] 目的 研究胃癌组织血管生成拟态(VM)及相关蛋白 Mig-7、MMP-2 的表达及临床意义。方法 采用免疫组化技术观察 110 例胃癌中的 CD34、Mig-7 和 MMP-2 的表达, VM 用 CD34、PAS 双染色法确定, 并结合胃癌患者的临床病理资料进行相关分析。结果 110 例胃癌组织中存在 35 例 VM, 阳性率为 31.82%; VM 与病理分级及淋巴结转移有关($P < 0.05$), 中低分化组的阳性率(34%)高于高分化组(10%), 有淋巴结转移组的 VM 阳性率高于无淋巴结转移组。110 例胃癌组织 Mig-7 表达 104 例, 阳性率为 94.54%; Mig-7 的高表达与淋巴结转移有关($P < 0.05$)。VM 阳性组 Mig-7 及 MMP-2 高表达率均高于 VM 阴性组($P < 0.05$)。VM 阳性组平均生存时间及中位生存时间均低于 VM 阴性组($P < 0.05$)。结论 胃癌组织中存在 VM, Mig-7 及 MMP-2 高表达可能协同促进 VM 形成; VM 与胃癌的侵袭、转移以及预后差密切相关。

[关键词] 胃癌; 血管生成拟态; Mig-7; 预后

[中图分类号] R392.33, R735.2 **[文献标志码]** A

Expressions and clinical significance of vasculogenic mimicry and related protein Mig-7 and MMP-2 in gastric carcinoma

LIAO Shiping, GAO Qing*

Department of Gastroenterology, First Affiliated Hospital, Chongqing Medical University, Chongqing 400016, China

[Abstract] Objective To study the expressions and clinical significance of vasculogenic mimicry (VM) and the related protein Mig-7 and MMP-2 in gastric carcinoma. Methods We observed the expressions of CD34, Mig-7 and MMP-2 in 110 patients with gastric carcinoma using immunohistochemistry, VM was determined by CD34/PAS double staining, and analyzed their correlations with the clinical and pathological characteristics of the patients. Results In the 110 patients with gastric carcinoma, 35(31.82%) were found positive for VM expression, and it was correlated with the pathological degree and lymph node metastasis ($P < 0.05$), that was, the positive rate of VM in the poorly-differentiated tissues (34%) was higher than that in the well-differentiated tissues (10%), and it was also higher in the lymph node metastasis than that in the non-lymph node metastasis. The expression of Mig-7 was found in 104 out of the 110 cases of gastric carcinoma, with a positive rate of 94.54%. The high expression of Mig-7 was related to lymph node metastasis ($P < 0.05$). The expression rates of Mig-7 and MMP-2 were higher in the VM-positive group than in the VM-negative group ($P < 0.05$). The average survival time and median survival time of the VM-positive group were shorter than those of the VM-negative group ($P < 0.05$). Conclusion The presence of VM in gastric carcinoma tissues is proved. The high expressions of Mig-7 and MMP-2 in gastric carcinoma tissues may have a synergistic promoting effect on VM formation. VM is closely associated with the invasion, metastasis and poor prognosis of gastric carcinoma.

[Key words] gastric carcinoma; vasculogenic mimicry; Mig-7; prognosis

传统的抗肿瘤血管治疗不能有效改善实体肿瘤患者的生存率, 仍有一半以上的肿瘤患者因复发和转移致死^[1]。部分胃癌患者, 在病程早期, 肿瘤大小尚未超过临界体积时, 已发生远处转移。血管生成拟态(vasculogenic mimicry, VM)是一种独立于肿瘤血管生成的新的肿瘤微循环模式, 在多种肿瘤组织均有表达, 与肿瘤组织分化程度和转移相关, 但 VM

是否在胃癌组织中有类似作用, 目前尚未见报道。本实验就 VM 在胃癌中的表达及临床意义进行研究, 并探讨 VM 在胃癌组织中形成的可能机制。

1 材料和方法

1.1 材料 收集重庆医科大学附属第一医院 2005-01/2007-05 经手术切除、临床病理资料及预后资料完整的胃癌标本共

收稿日期: 2012-09-10; 接受日期: 2012-10-12

作者简介: 廖世平(1983-), 女, 重庆人, 硕士研究生

Tel: 13657639524; E-mail: 719850062@qq.com

* Corresponding author, 高青, E-mail: gaoqing27@yahoo.com.cn

110例, 经病理医师阅片确诊为胃癌。随访时间从手术时间至2012-08月。110例胃癌患者中, 男79例, 女31例。分化程度: 低分化76例, 中分化24例, 高分化10例。生存时间从术后1个月至87个月。临床分期: I期10例, II期23例, IIIA期47例, IIIB期26例, IV期4例。免抗人单克隆抗体CD34购自CST; 免抗人多克隆抗体Mig-7购自abcam; 免抗人MMP-2购自Proteintech; SP超敏试剂盒(羊/兔), 购自康为世纪公司; DAB试剂盒购自北京中杉金桥公司; PAS染色试剂盒购自上海源叶生物公司。

1.2 方法

1.2.1 CD34与PAS双重染色方法及VM结构 采用SP法, 进行CD34免疫组化染色, 按照SP法操作, DAB染色后终止反应。再行PAS染色, 切片于显微镜下观察, 肿瘤细胞围成管腔样结构, 管壁无CD34阳性的内皮细胞环绕, 管腔内有红细胞的管腔结构判断为VM; 管腔有CD34阳性的血管内皮及PAS阳性的基底膜结构, 判断为内皮依赖性血管。

1.2.2 Mig-7免疫组化染色及结果判断 石蜡切片脱蜡水化, 高温抗原修复; PBS液冲洗10 min, 血清封闭20 min; PBS冲洗10 min, 加免抗人多克隆抗体Mig-7(1:50), 按照SP法操作。结果判定: 细胞膜及细胞质染色为棕黄色为阳性表达。随机选择5个有代表性的高倍镜视野, 每个视野计数100个肿瘤细胞, 着色强度按无着色、浅黄色、中等黄色、棕黄色分别判断为0、1、2、3分, 着色细胞数占计数细胞百分率<10%为0分, <25%为1分, <50%为2分, >50%为3分。将每张切片的着色强度及着色细胞百分率得分相乘, 为其最后得分。0-1分为阴性, 2-3分为弱阳性, 4-6分为中等阳性, 6分以上为强阳性, ≤3分为低表达, ≥4分为高表达。

1.2.3 MMP-2免疫组化染色及结果判断 步骤同1.2.2。染色判断方法同1.2.2结果判定, 阳性物质定位于细胞质。

1.2.4 统计学分析 应用SPSS19软件进行 χ^2 检验, $P<0.05$ 有统计学意义。Kaplan-Meier生存分析比较VM阳性组及阴性组生存时间。

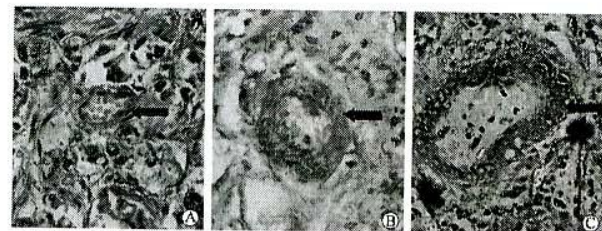
2 结果

2.1 胃癌组织中VM情况 110例胃癌组织中35例存在VM, 阳性率为31.82%。HE染色镜下见管腔周围由肿瘤细胞组成, 管腔内可见红细胞。CD34/PAS双重染色可见一层PAS阳性物质围成基底膜样结构分开肿瘤细胞及红细胞, 围成管腔的肿瘤细胞CD34染色阴性。CD34染色阳性, 无论PAS染色为阴性或阳性, 均判断为内皮依赖性血管(图1)。

2.2 胃癌组织中Mig-7情况 胃癌组织中Mig-7表达104例, 阳性率为94.54%, 表达于细胞膜及细胞质棕黄色颗粒, 正常组织中未见Mig-7染色阳性物质。高表达34例, 低表达70例(图2)。

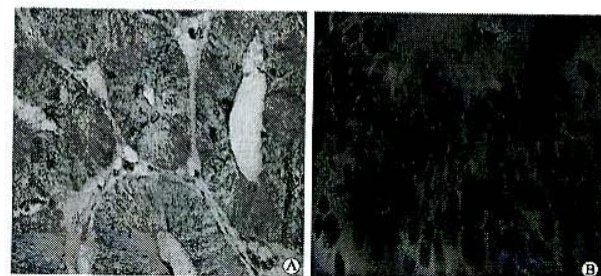
2.3 MMP-2表达情况 胃癌组织中均表达MMP-2, 39例高表达, 71例低表达, 表达于胞质中棕黄色颗粒(图3)。

2.4 VM与Mig-7及MMP-2比较 VM阳性组Mig-7高表达率及MMP-2高表达率均高于VM阴性组($P<0.05$, 表1)。



A: 黑色箭头见HE染色高倍镜下肿瘤细胞围成的VM结构, 内可见红细胞(HE); B: 黑色箭头可见肿瘤细胞围成VM, CD34染色阴性, PAS阳性物质围成基底膜样结构分开肿瘤细胞及腔内红细胞(IHC); C: CD34/PAS双重染色可见CD34阳性物质及PAS阳性物质围成的内皮依赖性血管(IHC)。

图1 血管生成拟态及内皮依赖性血管在胃癌组织中的表达($\times 400$)



A: VM阳性组高表达; B: VM阴性组低表达。
图2 Mig-7在胃癌组织中的表达($\times 400$)



A: VM阳性组高表达; B: VM阴性组低表达。
图3 MMP-2在胃癌组织中的表达($\times 400$)

表1 VM与Mig-7、MMP-2的关系

	Mig-7高表达	Mig-7低表达	MMP-2高表达	MMP-2低表达
VM ⁺	21*	14*	22*	13*
VM ⁻	13	56	17	58

* $P<0.05$ vs VM⁻。

2.5 VM及Mig-7表达的临床结果 VM表达与性别、年龄、临床分期无相关。与分化程度及有无淋巴结转移相关($P<0.05$), 中低分化组VM阳性率高于高分化组, 有淋巴结转移的VM阳性率高于无淋巴结

转移组。Mig-7 表达与性别、年龄、临床分期、分化程度无相关；与有无淋巴结转移相关($P < 0.05$)，有淋巴结转移的 Mig-7 高表达率高于无淋巴结转移组(表 2)。

表 2 临床资料与 VM 及 Mig-7 的关系

临床病理特点	n	VM +	VM -	Mig-7 高表达	Mig-7 低表达
性别					
男	79	26	53	25	49
女	31	9	22	9	21
年龄					
≥60 岁	59	19	40	21	37
<60 岁	51	16	35	13	33
肿瘤大小					
≥4 cm	47	19	28	18	27
<4 cm	63	16	47	16	43
分化程度					
低分化	76	30*	46	24	52
中分化	24	4*	20	10	14
高分化	10	1*	9	0	4
淋巴结转移					
有	68	28*	40	25*	36
无	42	7*	35	9*	34
临床分期					
I	10	1	9	0	5
II	23	5	18	5	17
III A	47	15	32	14	33
III B	26	12	14	12	14
IV	4	2	2	3	1

* $P < 0.05$ vs VM - , * $P < 0.05$ vs Mig-7 低表达.

2.6 VM 与生存时间关系 VM 阳性组平均生存时间为 28.35 月，中位生存时间为 23.00 月；VM 阴性组平均生存时间为 47.69 月，中位生存时间为 33.00 月($P < 0.05$ ，图 4)。

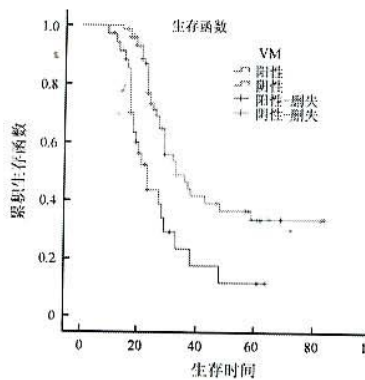


图 4 曲线显示 VM 阳性组较 VM 阴性组生存时间短

3 讨论

肿瘤血管是肿瘤生长、浸润、转移的营养供给，而 VM 是对经典肿瘤血管生成理论的重要补充，与肿瘤远处转移及患者不良预后密切相关^[2]。因此，研究 VM 形成的相关机制和与患者生存时间的关系具有较重要的临床意义。研究表明，VM 形成与多因子相关蛋白的参与有关，如基质金属蛋白酶(MMPs)、缺氧诱导因子- α (HIF- α)等^[3]。Gavin 等^[4]研究发现 Mig-7 是肿瘤 VM 中的重要调节因子，它通过增加肿瘤细胞的侵袭，促进 VM 的形成，从而加快肿瘤的转移。并证实在多种肿瘤组织中均有表达，而在正常组织中不表

达。Petty 等在研究中证实：Mig-7 在肿瘤细胞形成 VM 管腔样结构中促使肿瘤可塑性变化，表达多种特异的内皮因子基因，从而形成特异 VM 结构^[5-6]。目前 Mig-7 在胃癌组织中的表达情况，以及与 VM 关系的研究较为少见。

本研究显示，VM 存在于胃癌组织中，并与性别、年龄、临床分期无相关，而与肿瘤病理分化程度及有无淋巴结转移相关($P < 0.05$)，其中中低分化组 VM 阳性率高于高分化组，有淋巴结转移组 VM 阳性率高于无淋巴结转移组，差异具有统计学意义，与 Li 等^[7]报道结果一致。而且，VM 阳性组 Mig-7、MMP-2 表达均高于 VM 阴性组($P < 0.05$)，二者有良好的相关性，与 Petty 等^[8]研究一致。由此，推测 Mig-7 高表达可促进 MMP-2 的表达，二者对促进 VM 形成有协同作用，使肿瘤较早的发生侵袭、转移。此外，Mig-7 在中低分化组高表达率高于高分化组，表明 Mig-7 与肿瘤恶性程度有正相关。由于 Mig-7 在正常组织中不表达，可作为 VM 形成的标志物之一。

本研究通过 Kaplan-Meier 生存分析显示，VM 阳性组中位生存时间(23.00 月)低于 VM 阴性组(33.00 月)，VM 阳性组及阴性组的 5 年生存率分别为 34.29% 及 54.67%，差异具有统计学意义。表明 VM 与肿瘤的浸润、远处转移密切相关，是患者不良预后的重要指标。

总之，VM 存在于胃癌组织，并与肿瘤组织分化程度和转移有明显相关性，与患者生存时间密切相关。Mig-7 作为胃癌 VM 形成中重要调节因子，参与 VM 的形成，抑制 Mig-7 表达可干预其形成，对防止胃癌转移提供了实验的依据，为胃癌临床治疗提供了新的靶点。

参考文献：

- Guzman G, Cotler SJ, Lin AY. A pilot study of vasculogenic mimicry immunohistochemical expression in hepatocellular carcinoma [J]. Arch Pathol Lab Med, 2007, 131(12): 1776-1781.
- 田翀, 高青. 结肠癌血管生成拟态的形态学观察及生成机制[J]. 第四军医大学学报, 2009, 30(22): 2568-2571.
- Comito G, Calvani M. HIF-1 α stabilization by mitochondrial ROS promotes Met-dependent invasive growth and vasculogenic mimicry in melanoma cells [J]. Free Radic Biol Med, 2011, 51(4): 893-904.
- Robertson GP. Commentary Mig-7 linked to vasculogenic mimicry [J]. Am J Pathol, 2007, 170(5): 1454-1456.
- Petty AP, Garman KL, Winn VD, et al. Overexpression of carcinoma and embryonic cytotrophoblast cell specific-Mig-7 induces invasion and vessel-like structure formation [J]. Am J Pathol, 2007, 170(5): 1763-1780.
- Ping YF, Bian XW. Consice review: Contribution of cancer stem cells to neovascularization [J]. Stem Cells, 2011, 29(6): 888-894.
- Li M, Gu Y, Zhang Z, et al. Vasculogenic mimicry: a new prognostic sign of gastric adenocarcinoma [J]. Pathol Oncol Res, 2010, 16(2): 259-266.
- Petty AP, Wright SE, Rewers-Felkins KA, et al. Targeting Mig-7 inhibits carcinoma cell invasion, early primary tumor growth, and stimulates monocyte oncolytic activity [J]. Mol Cancer Ther, 2009, 8(8): 2412-2423.